

有松亘、尾中敬、左近樹(東京大学)  
金田英宏(名古屋大学)、あかりIRCチーム

# 近傍銀河の中間赤外域でのダスト輻射の性質 —『あかり』による近傍銀河の赤外線撮像観測 —

# Menu

- AKARI / IRC Image reconstruction method とその適用例
- 近傍渦巻銀河M81の近・中間赤外観測データの解析結果

# Introduction

- Galaxy @mid-Infrared: Emission from PAHs, Very Small Grains and Classical Dust Grains

## → 星間物質の銀河スケールでの分布、性質の空間的变化

中間赤外域で空間分解している近傍銀河の銀河中心、 disk、 星形成領域、 arm / interarm や galactic halo の典型的な SED を把握し、 銀河進化の中でどのように星間物質が分布、 進化していくかをとらえる。

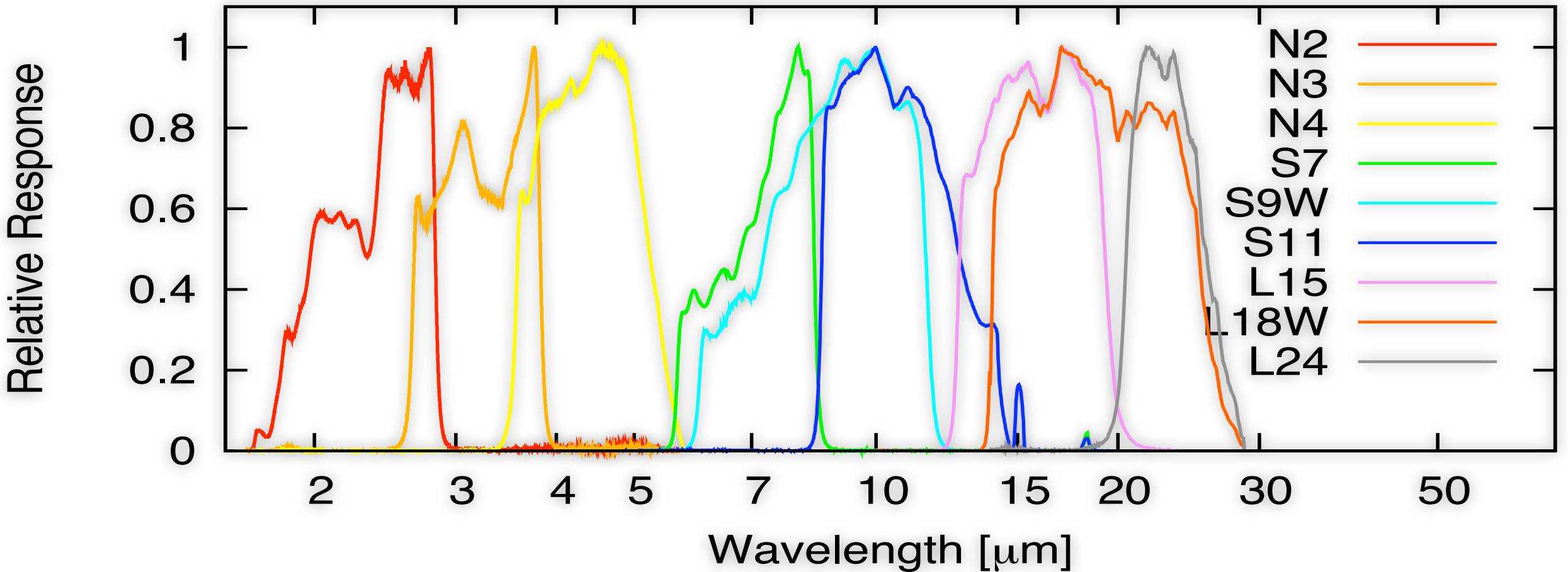
## → 赤外輻射源の正確な把握

中間赤外域では、 AGN, Star-forming region からのダスト輻射, diffuse ISM からの 輻射や LT-AGB stars などからの輻射が縮退したものを観測している。

→ 星形成率などの見積もりの不確定性 (Kelson & Holden 2010)

→ 空間分解できている近傍銀河内の各 component の典型的な color, SED を導出して、 これらの photometric な縮退を解くことはできないか?

# AKARI / IRC Response Curve



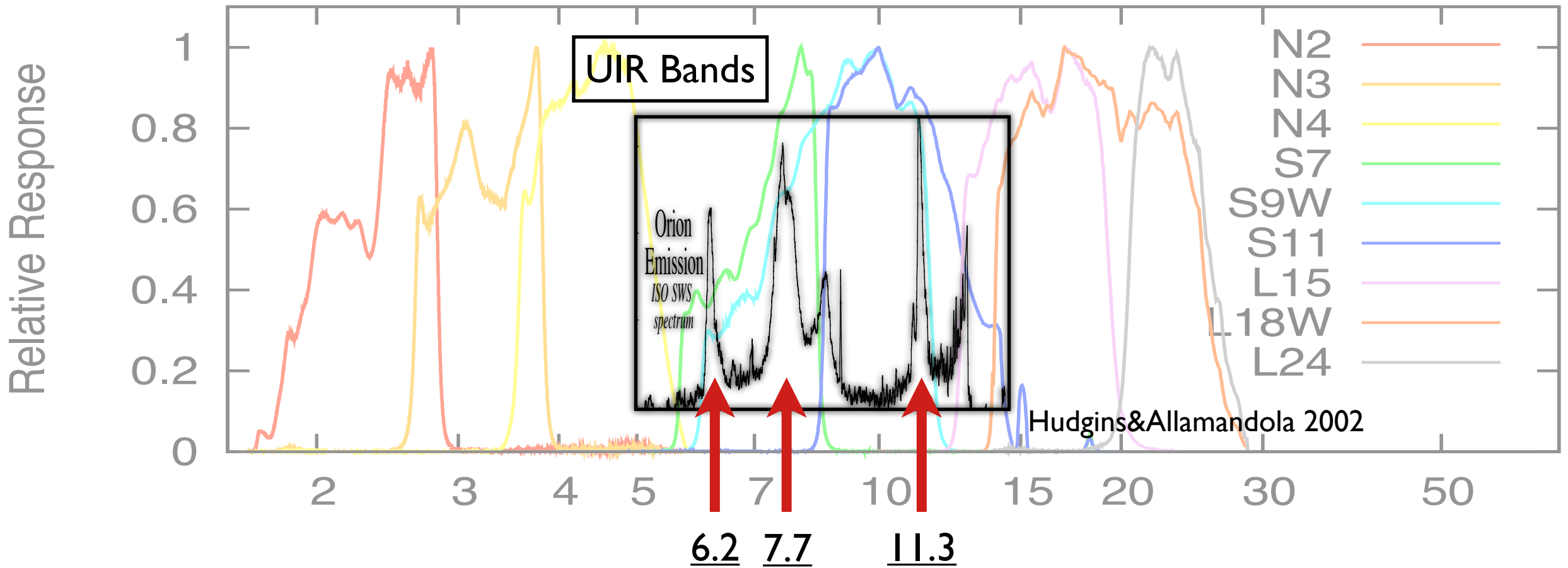
★ AKARI/IRC: 中間赤外域に多様なフィルターを備えている。

★ S7,S11,L15,L24の4 bands で7-30μmの波長域を隙間なくカバー。  
(SpitzerはIRAC band4(8.0μm), MIPS 24μmのみ)



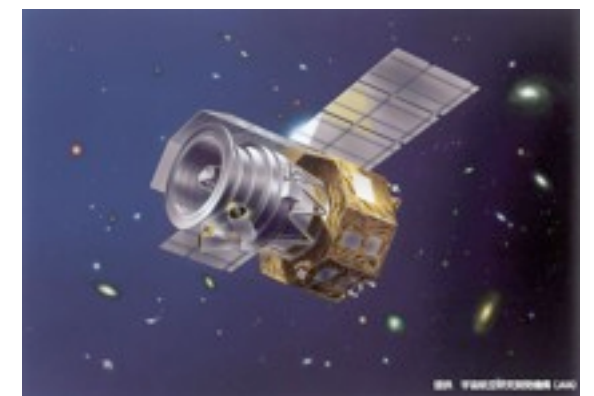
→ UIR bands や ダストからの連続輻射(VSG, Classical Grain)の空間変化を、多バンドで捉えることで、ダスト、PAHの物理状態や性質を詳細に把握できる。

# AKARI / IRC Response Curve



★ AKARI/IRC: 中間赤外域に多様なフィルターを備えている。

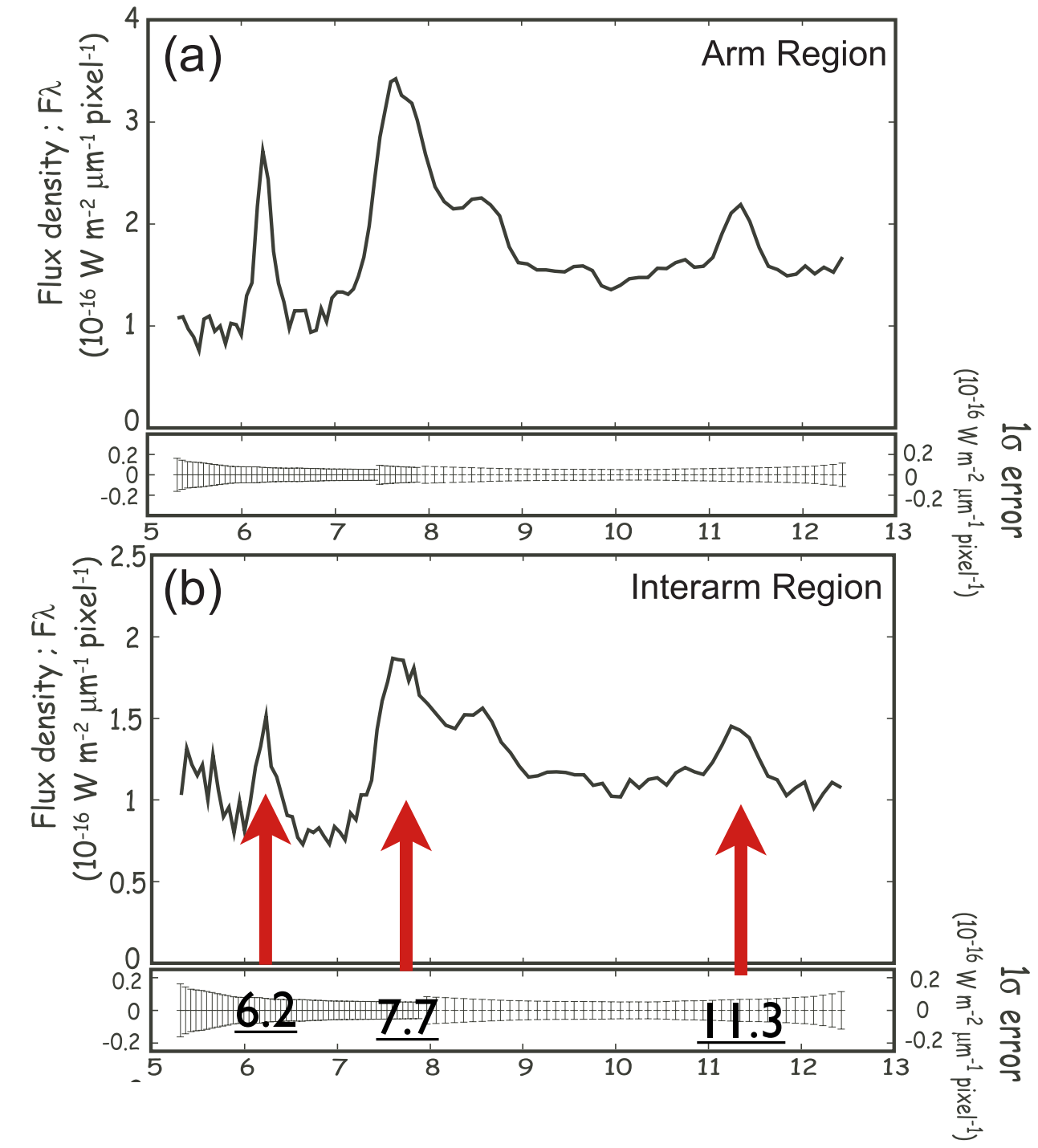
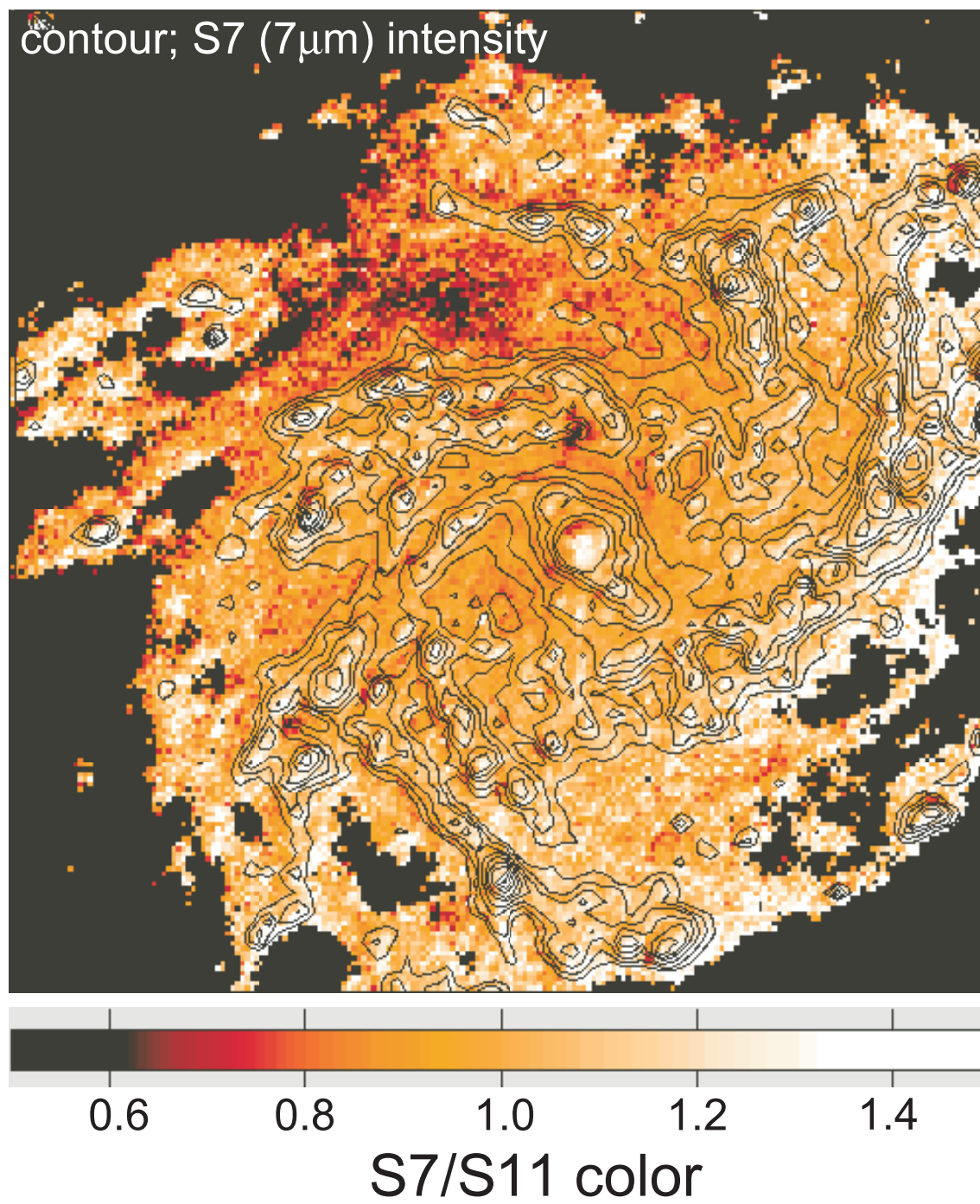
★ S7,S11,L15,L24の4 bands で7-30 $\mu\text{m}$ の波長域を隙間なくカバー。  
(SpitzerはIRAC band4(8.0 $\mu\text{m}$ ), MIPS 24 $\mu\text{m}$ のみ)



→ UIR bands や ダストからの連続輻射(VSG, Classical Grain)の空間変化を、多バンドで捉えることで、ダスト、PAHの物理状態や性質を詳細に把握できる。

# UIR band ratio & PAH processing

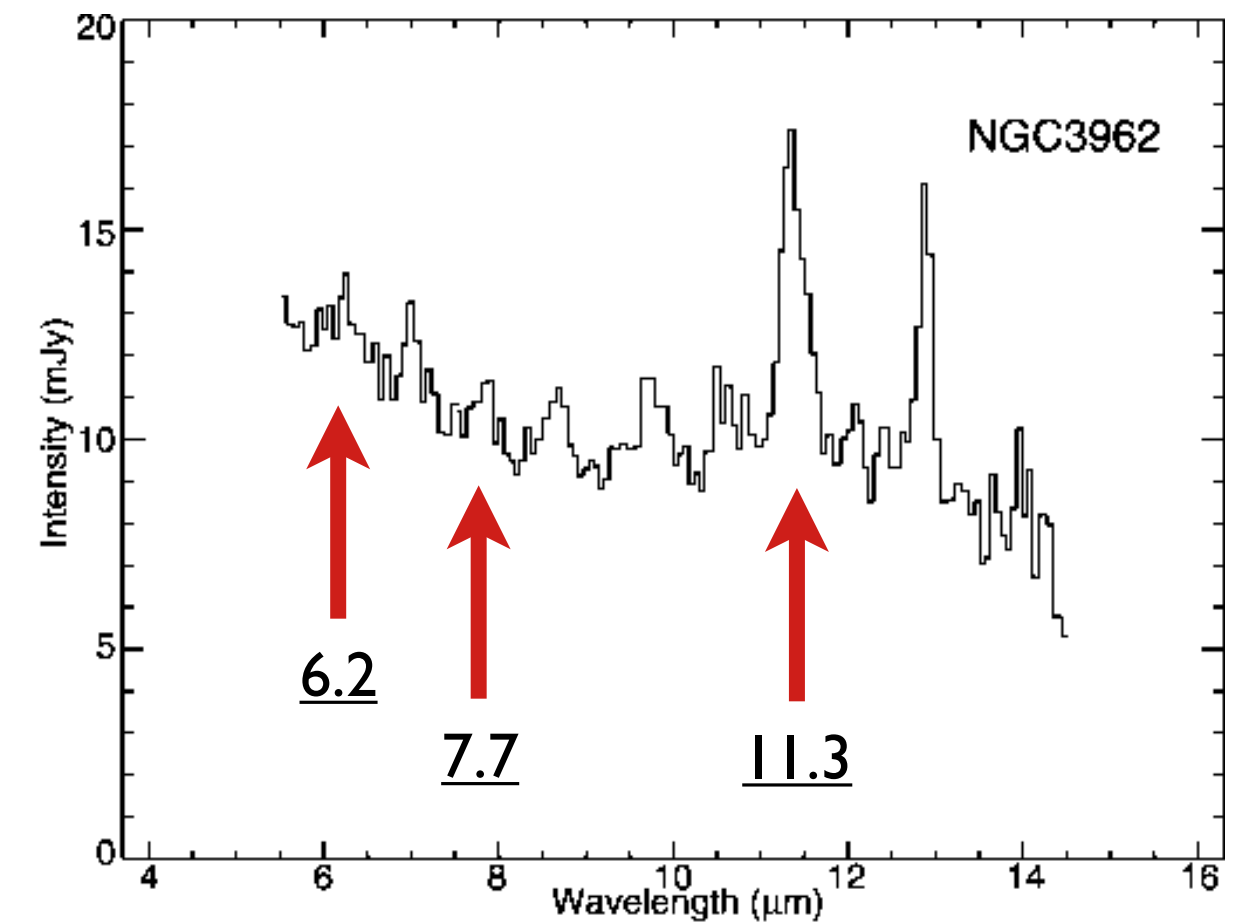
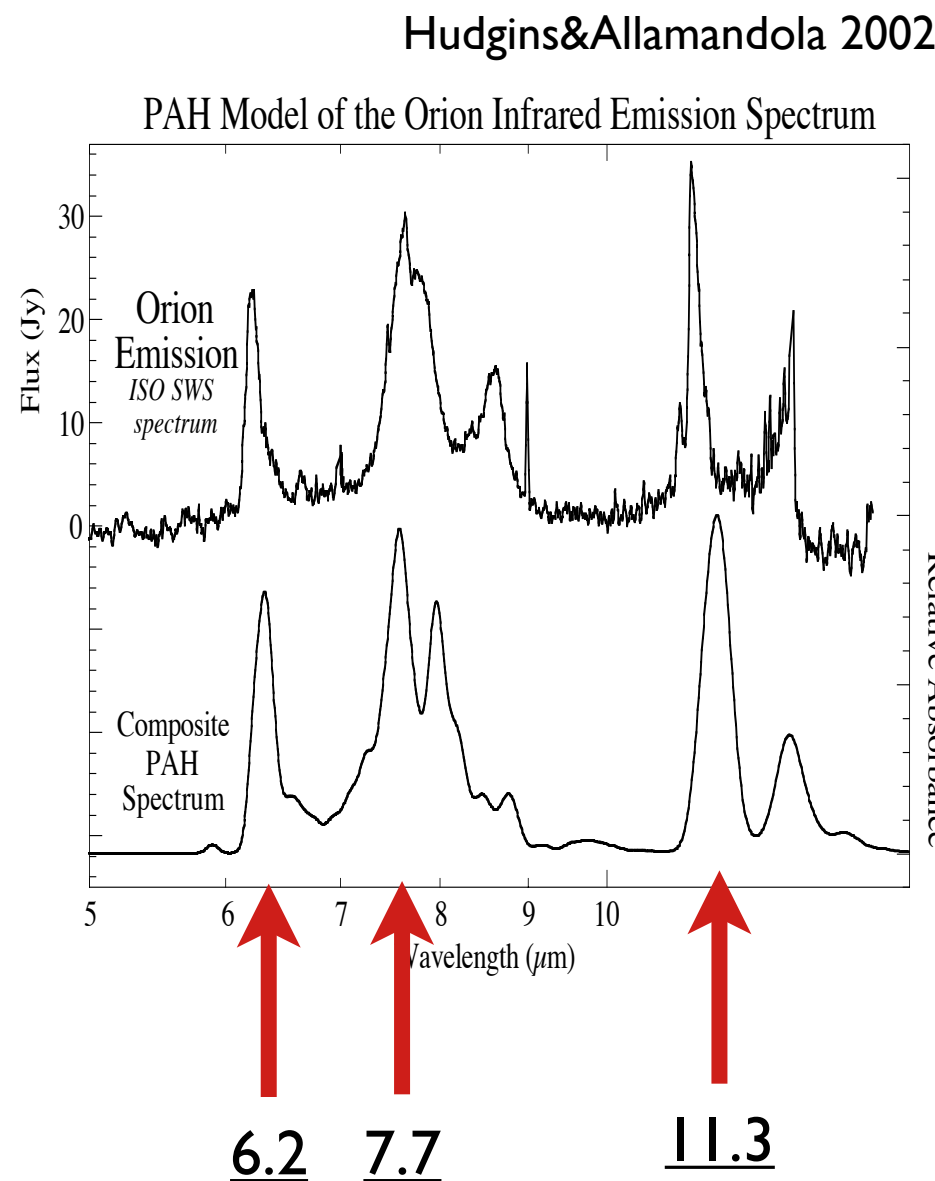
Sakon et al. 2007 (NGC6946)



Increasing  $7.7 / 11.3 \mu\text{m}$  ratio → ionized PAH dominant? (Galliano+ 2008a)

# UIR band ratio & PAH processing

Kaneda et al. 2005, 2007 (Elliptical Galaxy)



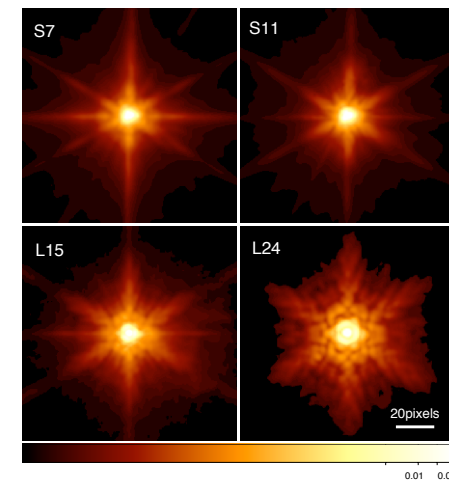
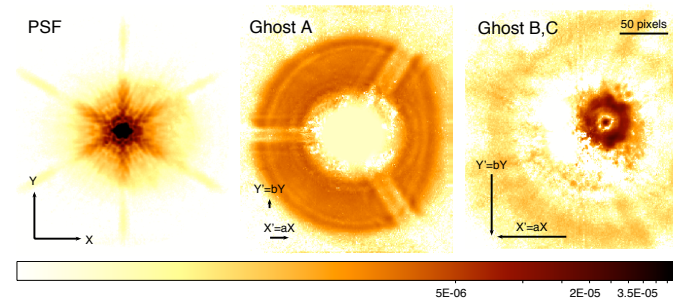
Weak 7.7 & 6.2 feature →  
Neutral, larger PAHs are dominant? (Galliano+ 2008a)

# Data Reduction

- To study point, clumpy and diffuse components in a galaxy, we have to.....

## ★ Subtract Ghosts & Scattering light effects

- Extract ghost patterns of MIR-S and MIR-L
- "Ghost Subtraction"

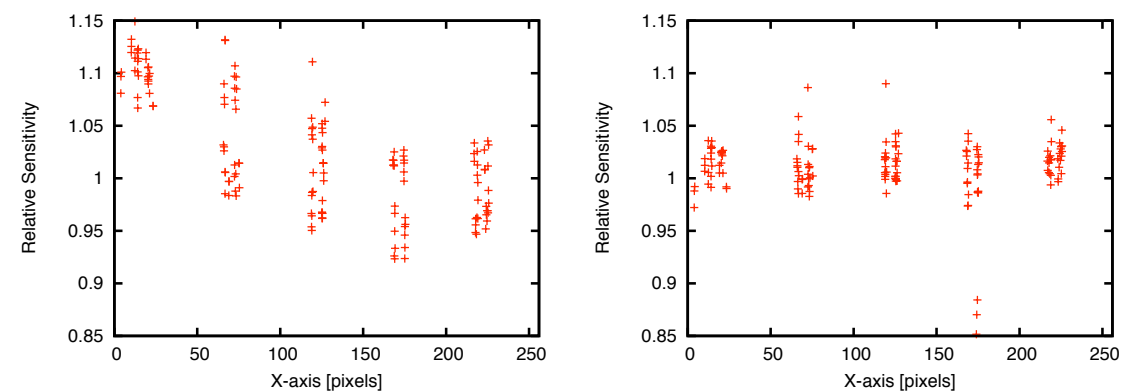


## ★ Correct Extended PSF effects

- Extract PSF patterns of IRC images and calculate Aperture Correction Factors
- "Re-Convolution"

## ★ Execute Accurate Flat Fielding

- Subtract Ghost Effects on Sky Flat frames and obtain Flat frames 5 times more accurate than ever



# “Re-convolution” : Reconstruction of IRC imaging data

★ Ghostsの寄与を差し引いた上で、各バンドごとにPSFのmodelを作成。

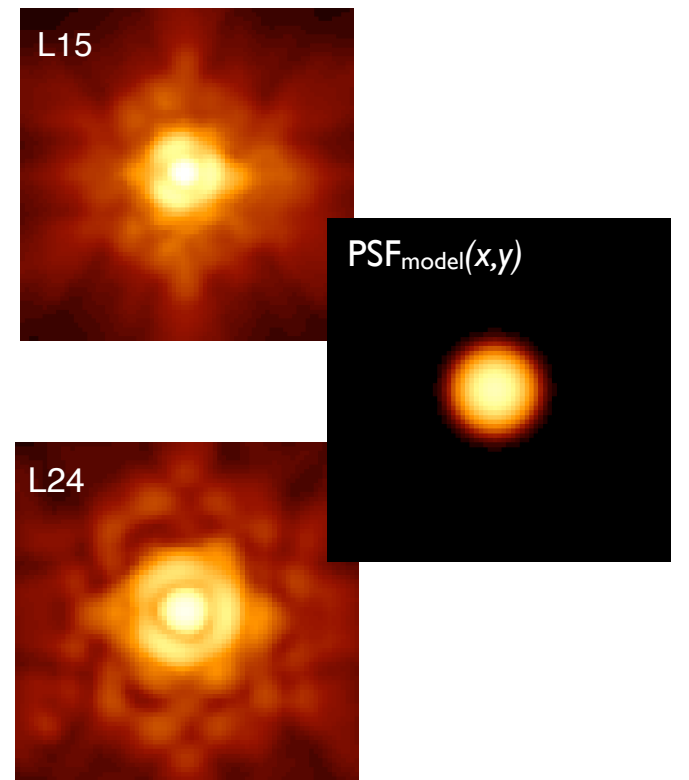
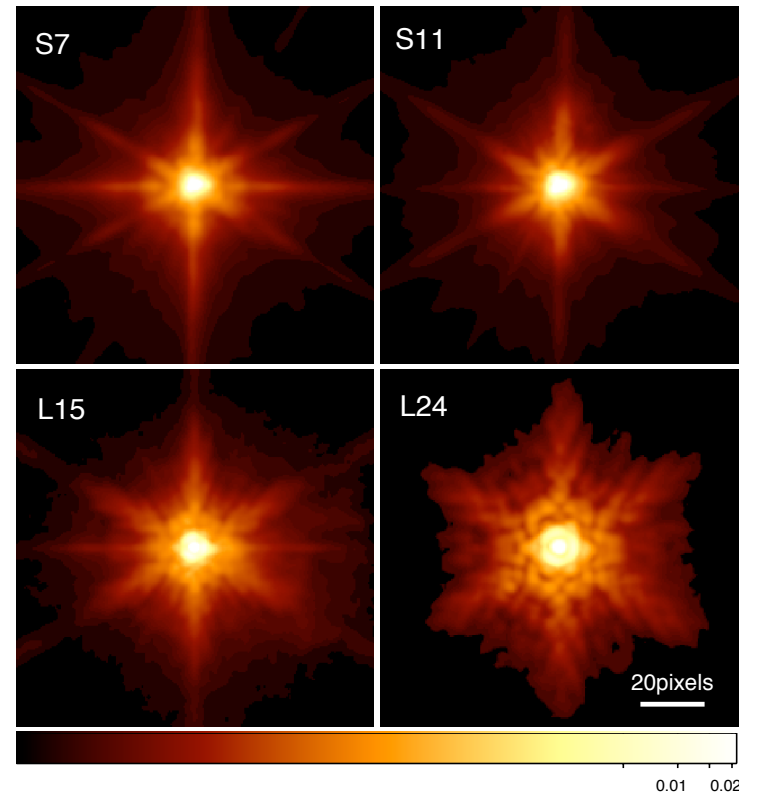
★ Fourier space 上で、元の画像に対して作成した PSF modelで逆畳み込みを行い、同時に Gaussian PSF で convolutionさせる。

$$K(x, y) = \text{DFT}^{-1} \left\{ \frac{\text{DFT}[\text{PSF}_{\text{model}}(x, y)]}{\text{DFT}[\text{PSF}_1(x, y)]} \right\}$$

★ Extendedで複雑な構造のあるPSFを持ったIRC撮像データから、 diffuseな天体の精確な輝度分布やcolor mapの作成が可能に。

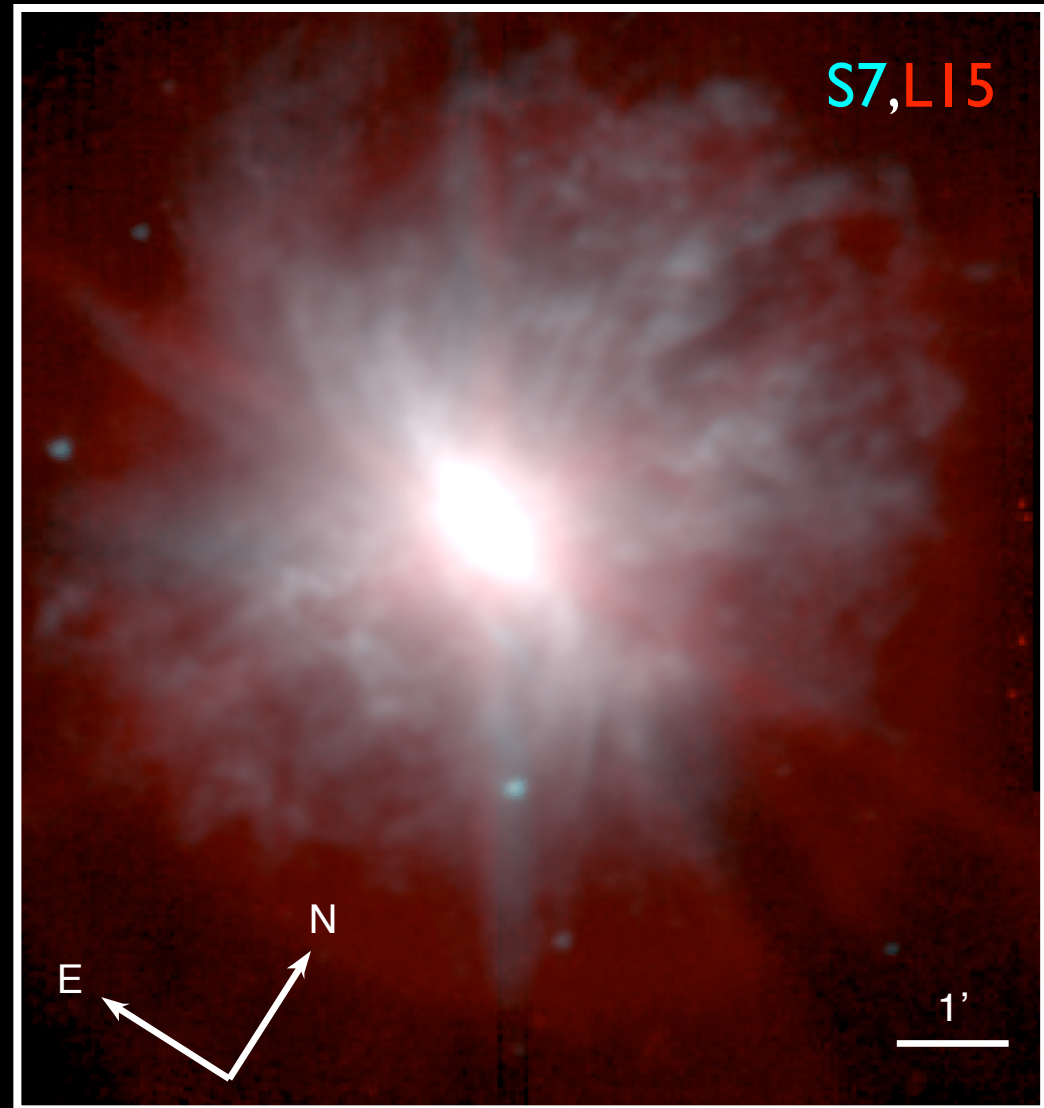
★ 高輝度な成分がある場合、逆畳み込みの際に不安が残る？

→ CLEANをもちいて、平滑化を行う前処理を挟む



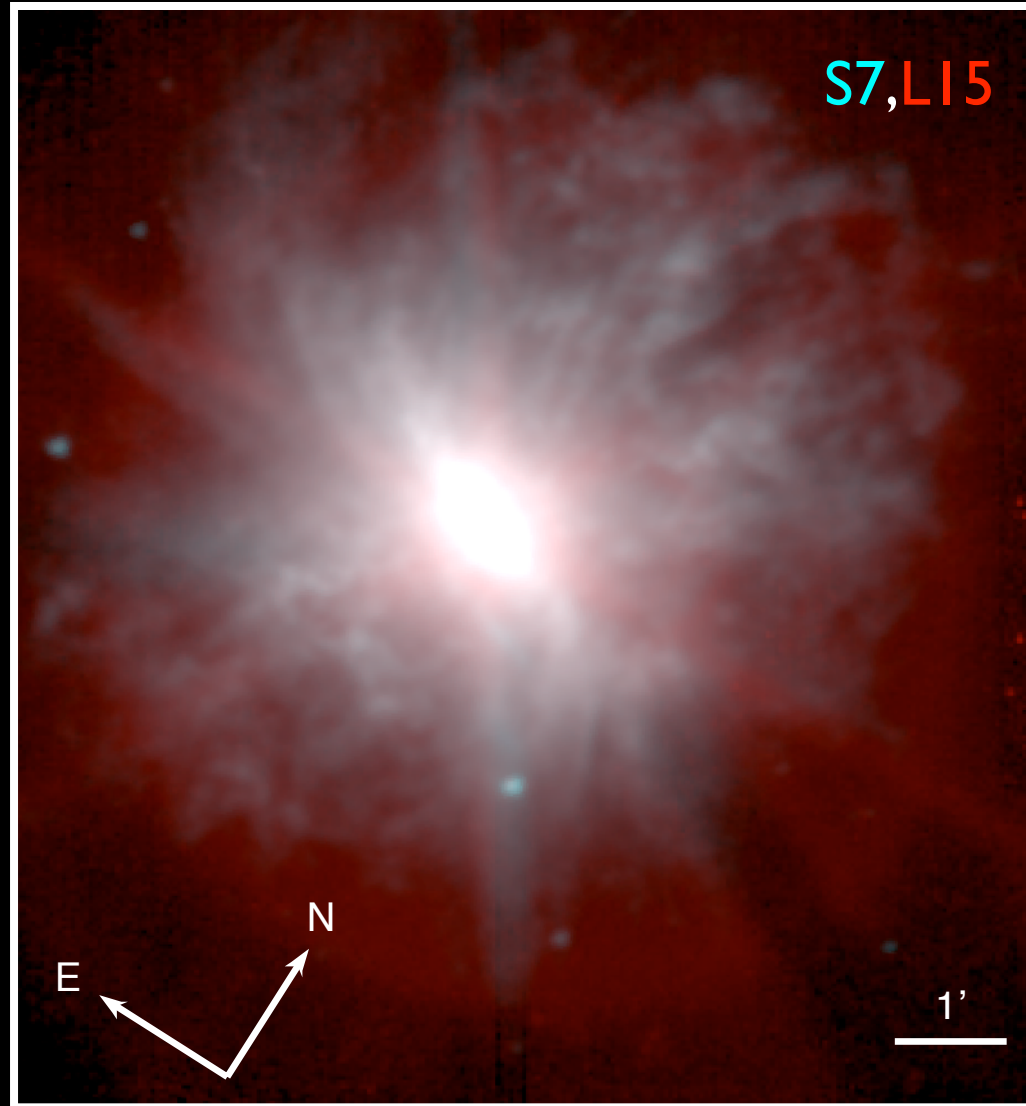
# Image reconstructionの例

Before Image Reconstruction



# Image reconstruction

Before Image Reconstruction  
FWHM: 5.1-6.8"



After Image Reconstruction  
FWHM: 7.0"



CLEANing Bright Sources + “Re-Convolution”

# Image reconstruction

- Filament構造:とカラーの関係

- S7/SII

- Filament :  $1.05 \pm 0.1$
  - Inter filament :  $0.95 \pm 0.15$

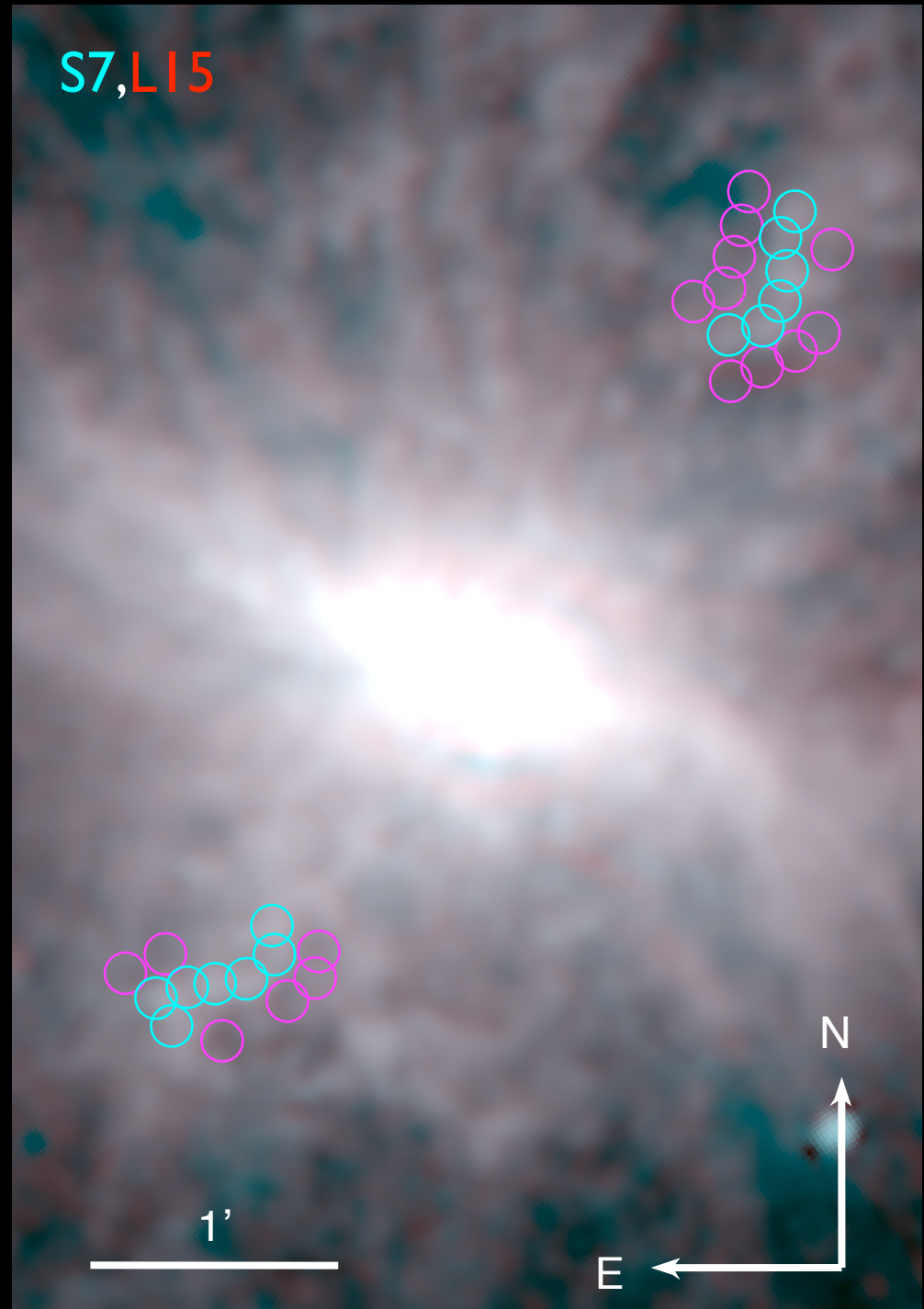
- L15/SII

- Filament :  $0.9 \pm 0.1$
  - Inter Filament :  $0.8 \pm 0.2$

→ Filament & Inter Filament 間で有意な差はみられない。

→ PAHの電離、サイズ分布などの変化は確認できなかった。

→ shock がたっている領域でのPAHの共存: 金田先生の見解と一致



# M81 : a Grand Design Spiral Galaxy

optical: HST ACS/WFC



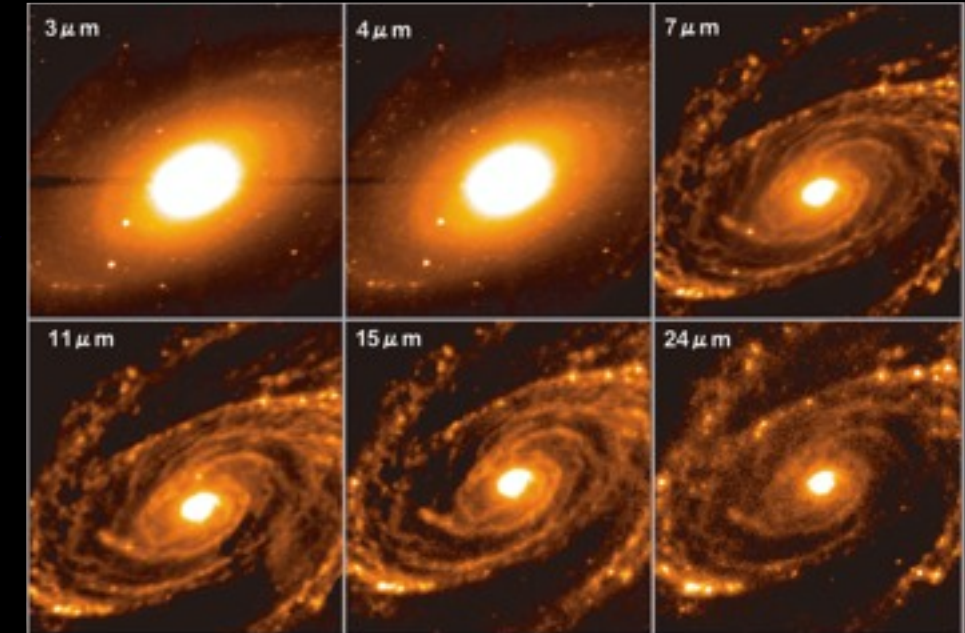
2MASS



AKARI / IRC Press Release



渦巻き銀河M81の近・中間赤外線画像



「あかり」近・中間赤外線カメラ



2006年5月22日

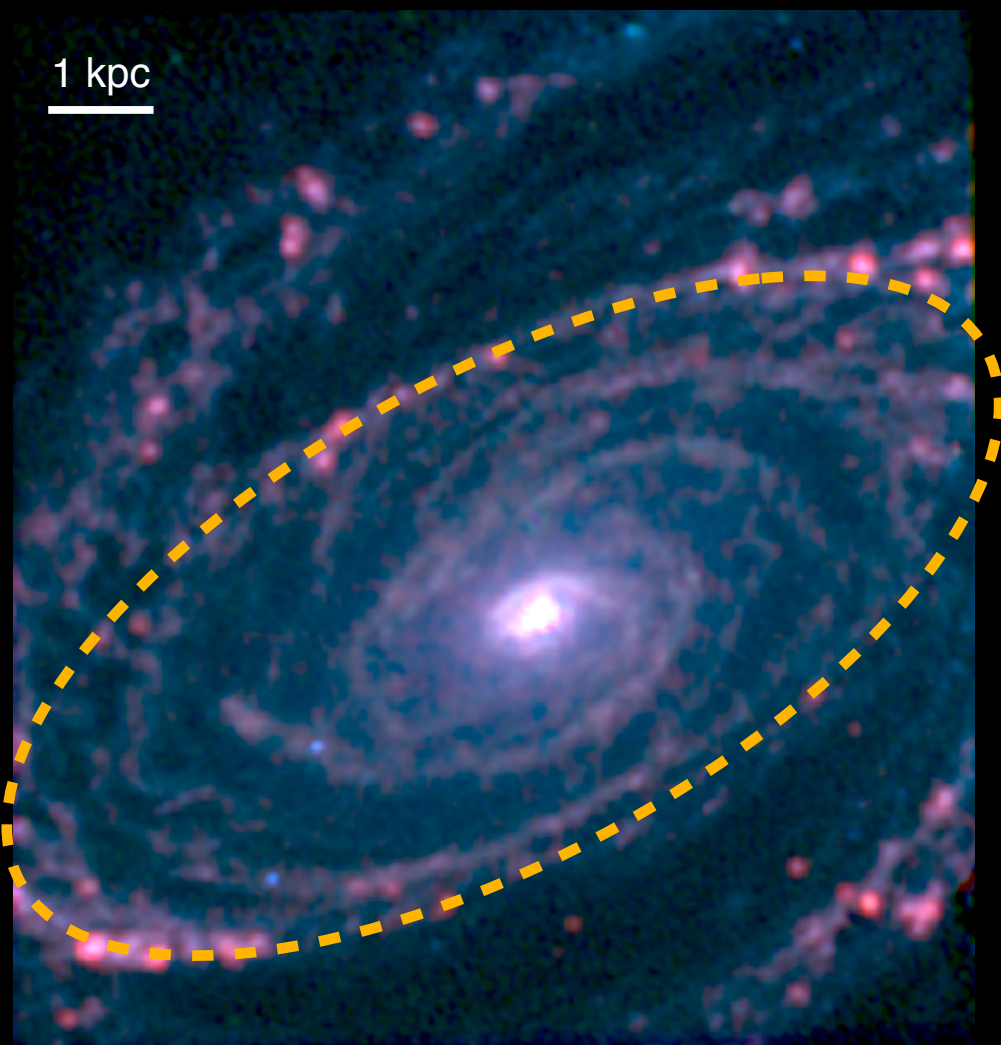
- M81: Nearby grand design spiral galaxy ( $D=3.63\text{Mpc}$  Freedman et al. 1994)
- Tidal interaction with M82 (Yun+ 1994)
- Inner Lindblad Resonance (ILR:  $R \sim 4.3\text{kpc}$ (Kendall))付近とspiral arm上にHII regionが点在
- バルジが卓越。 like E-type galaxy (Fisher+ 2010)
- ILR内側には中間赤外域でspiral likeな構造。

# M81 :AKARI / IRC View

Near Infrared(2MASS K, N3, N4)



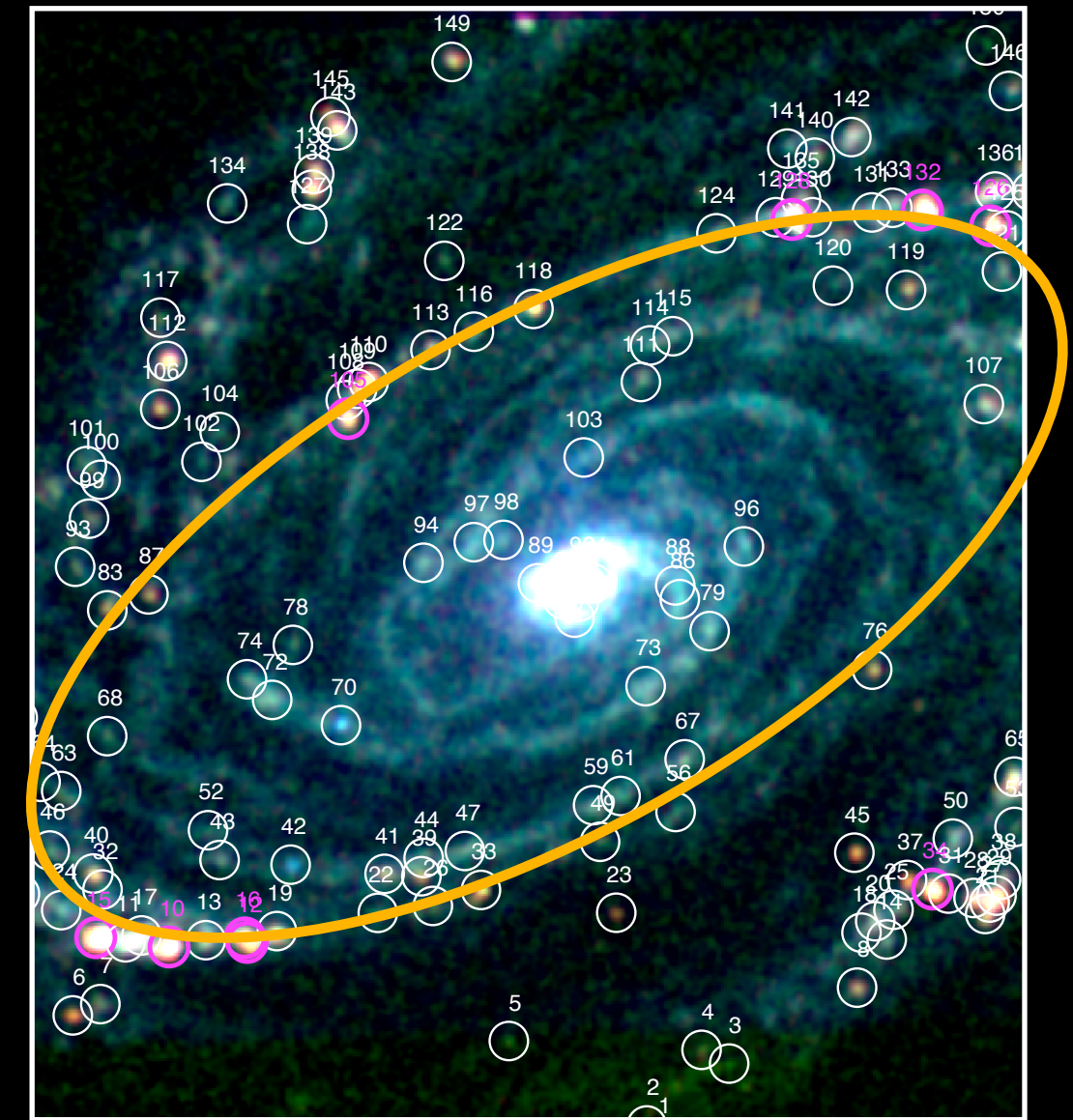
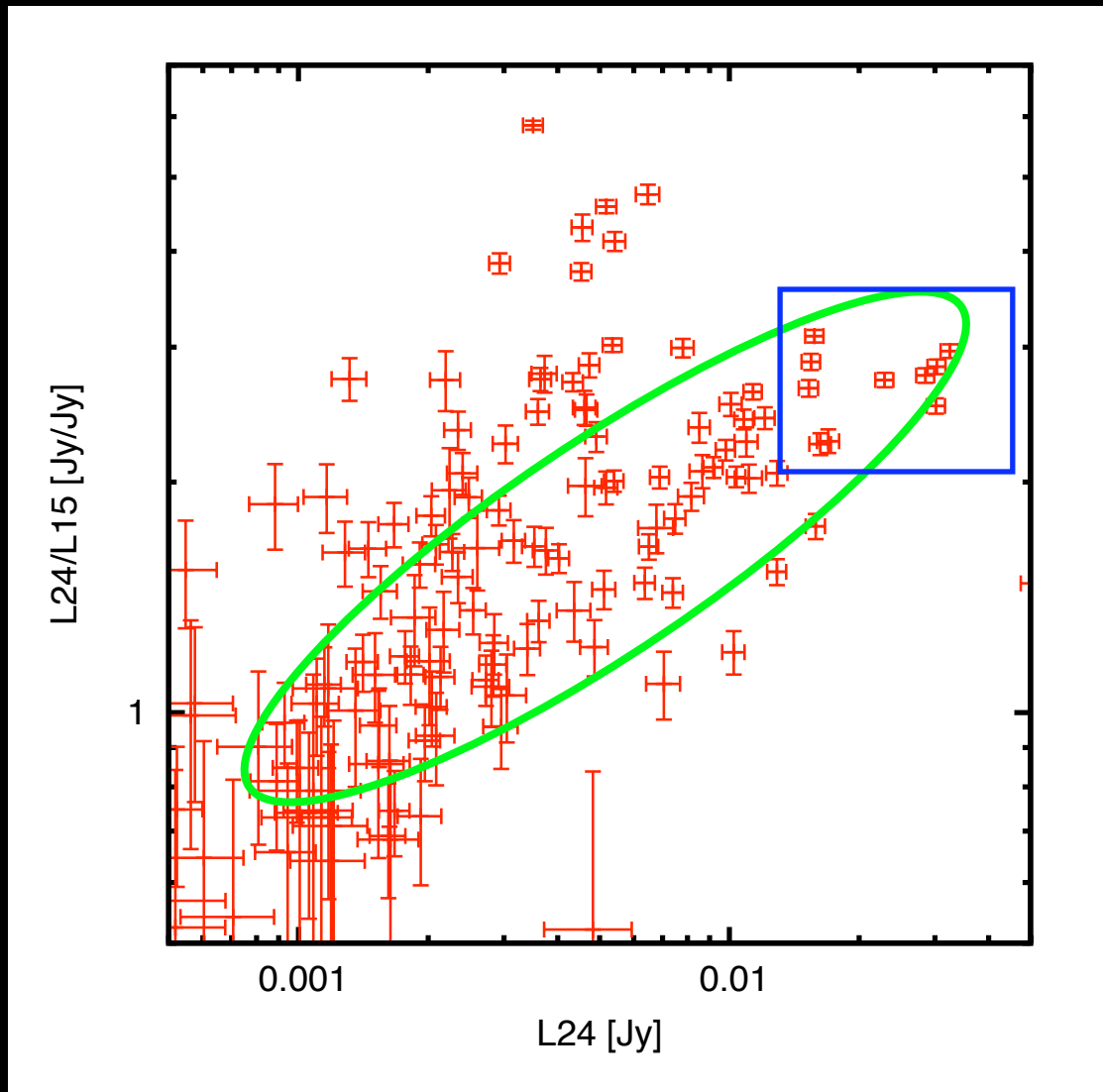
Mid Infrared(S7, SII, L24)



- M81: Nearby grand design spiral galaxy ( $D=3.63\text{Mpc}$  Freedman et al. 1994)
- NIRではバルジ領域ではstellarの輻射がしめる。
- MIRではバルジ付近でもspiral構造が見える。
- Inner Lindblad Resonace (ILR:  $R\sim4.3\text{kpc}$  ())付近とspiral arm上にHII regionが点在。 L24 が明るい。

# Point source detection

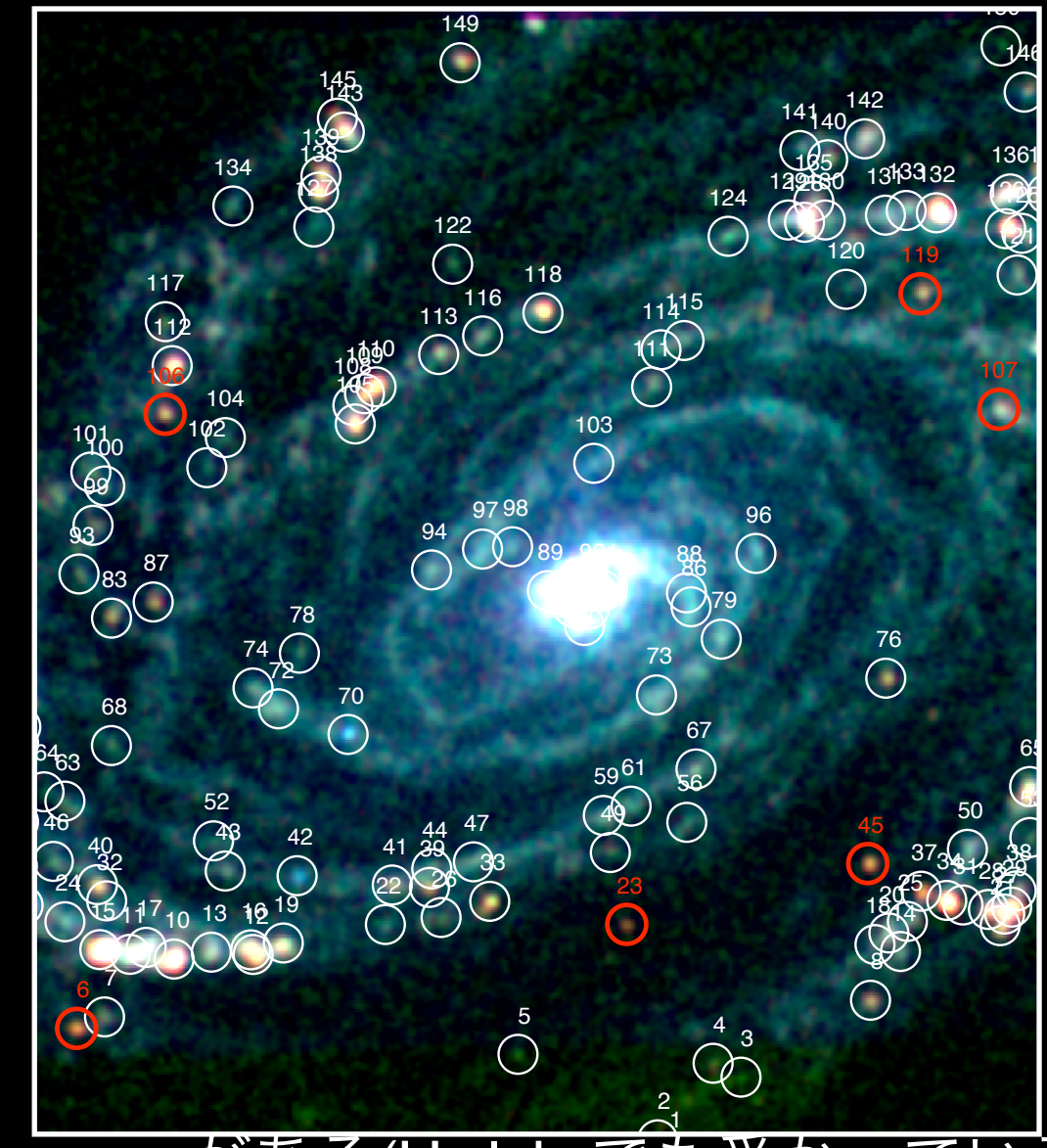
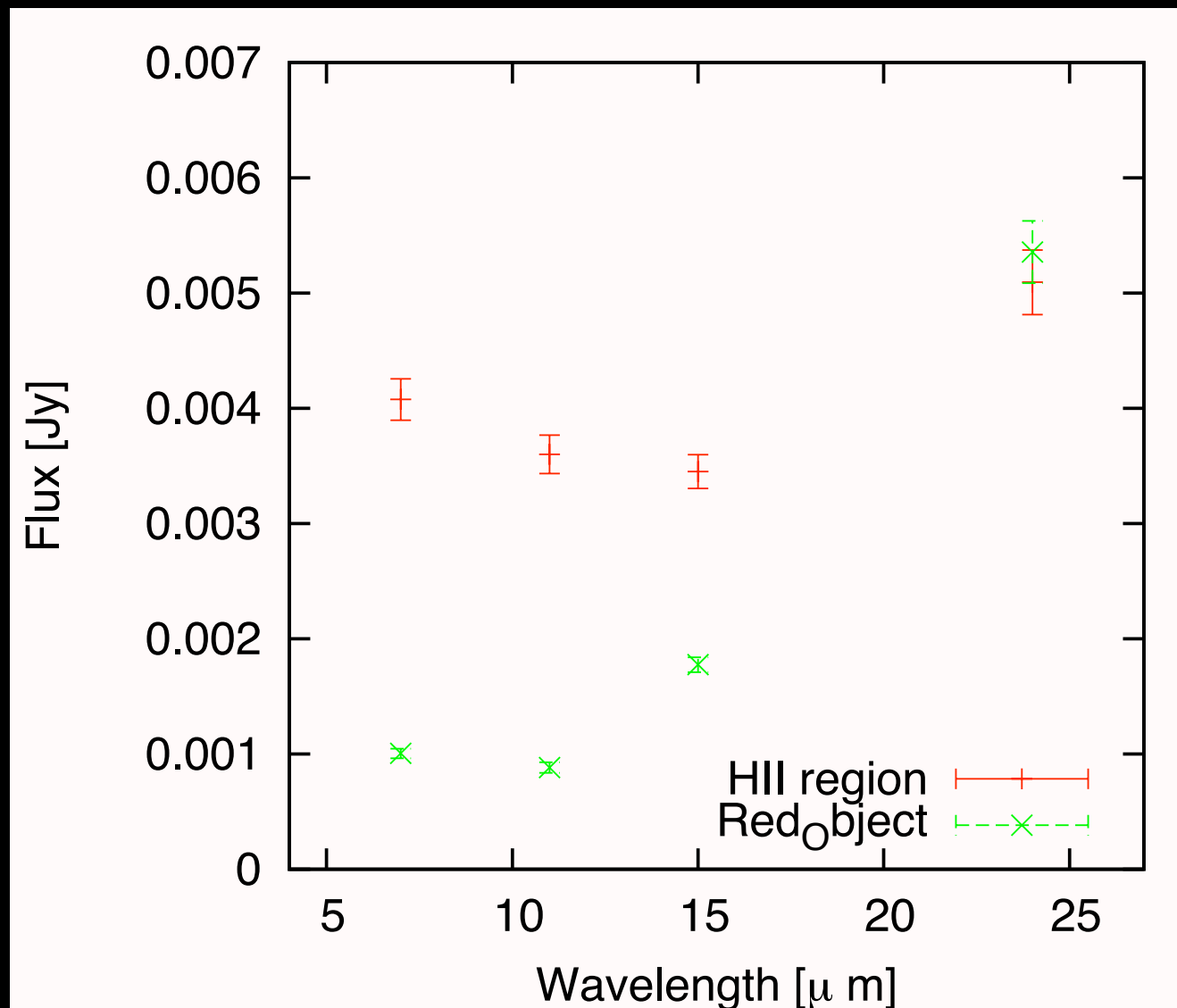
- L24 vs. L24 / L15: 150個のpoint sourcesを検出



- ILR付近( $R \sim 4.3\text{kpc}$ )付近にL24が明るい領域が集中。  
→ HII regionに付随するダストの平衡温度が高い。
- HII region では、L24で明るいほど赤い傾向  
→ HII regionに付随するダストの平衡温度が高い。

# Point source detection

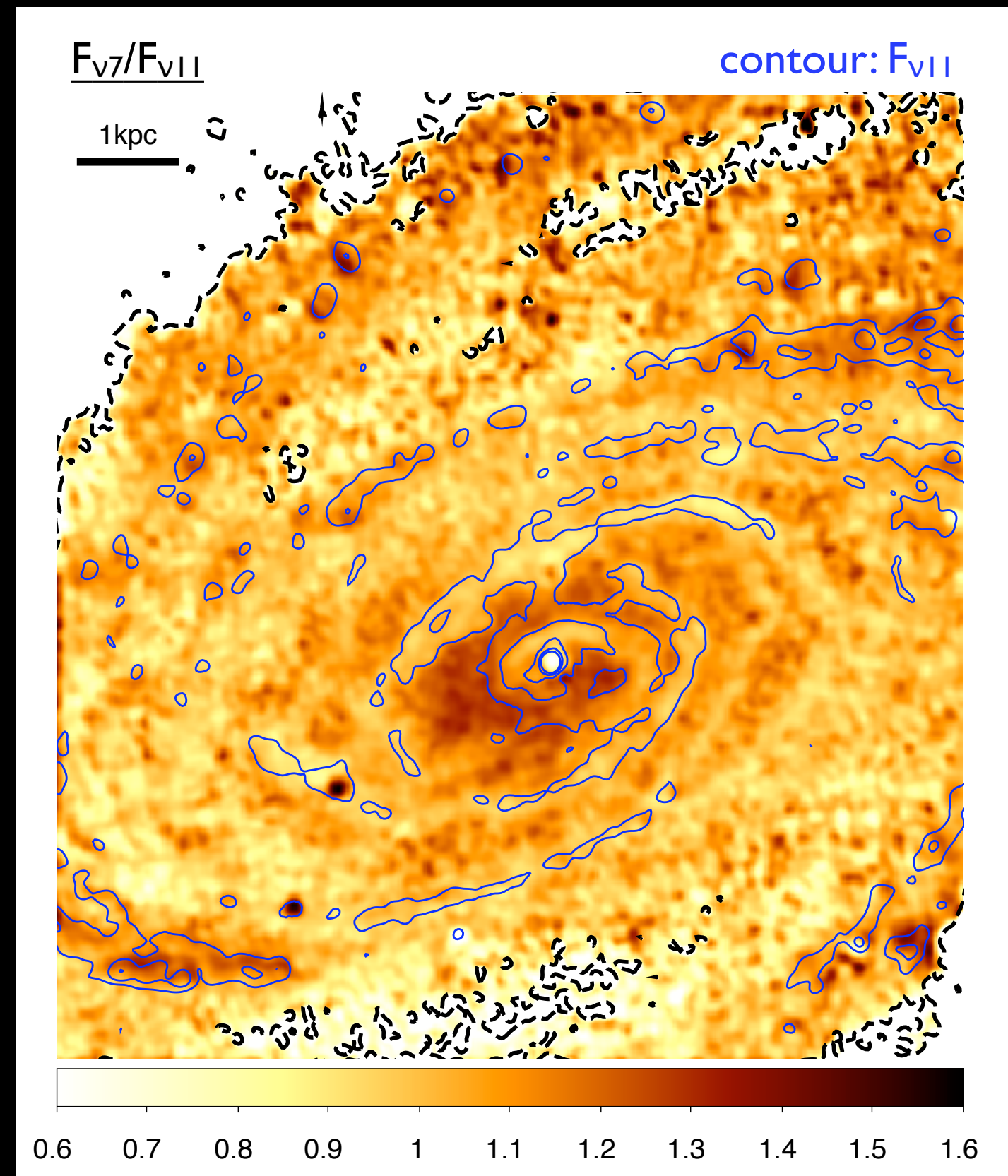
- L24 vs. L24 / L15



- Inter Arm 領域にかなり赤い(L24/L15 ~ 3-5) sourceがある(H alphaでも受かっている)
- 高温なdust componentが存在するHII regions  
→dustと星形成領域のphaseとの関係性？
- Proto Planetary Nebulae? (compare with IRC LMC survey first results : Ita + 2007)

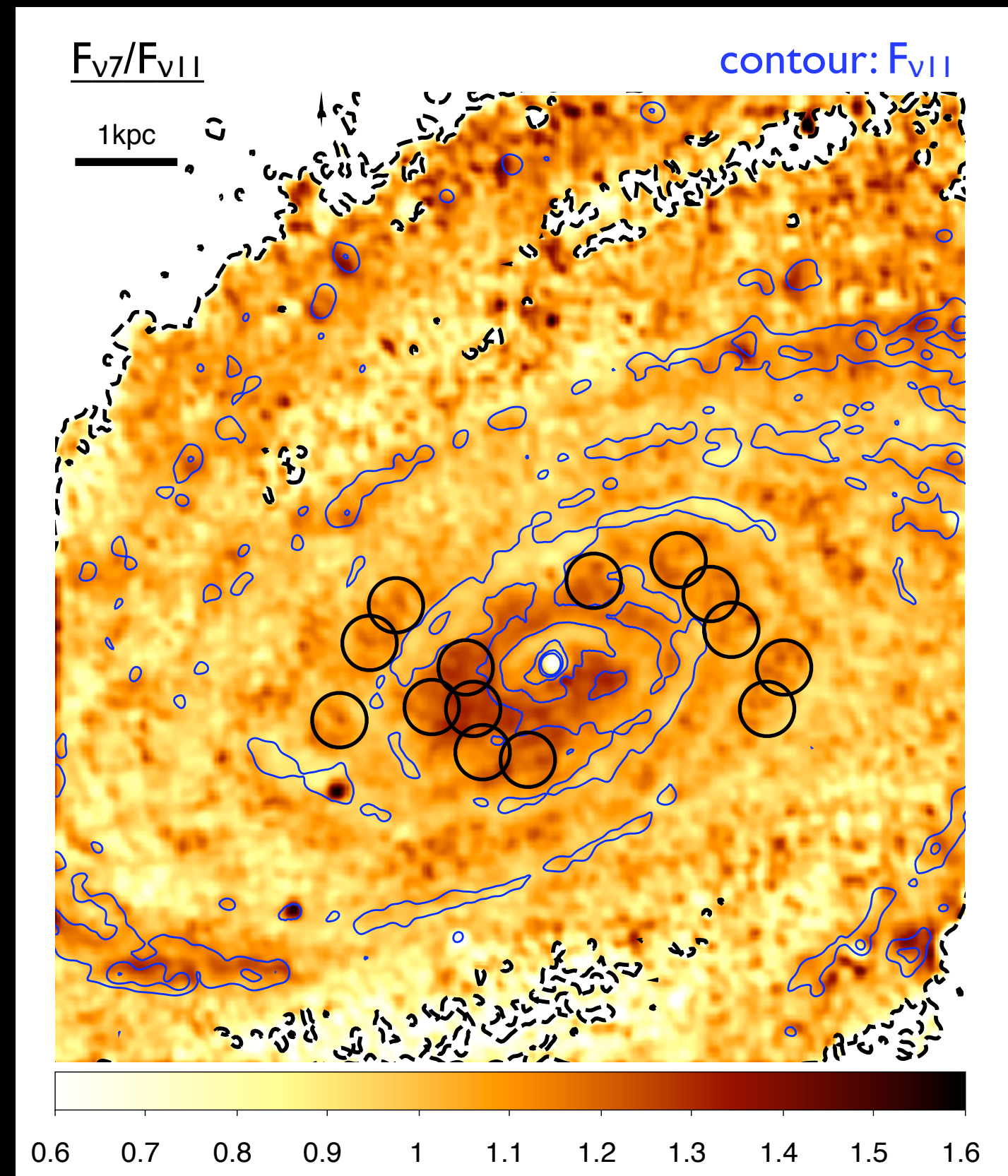
# Naturalistic study of M81 at Mid-Infrared

- S7/SII
- Arm, ILR上で  
 $F_{V7}/F_{VII}$  : 1.2-1.5
- Sakon+ 2006でのNGC6943  
Arm領域でのS7/SIIの値と一致。
- 強い星間輻射によりPAHが電離。7.7/11.3が大きくなっている傾向 (Sakon+ 2006)
- 中心部近傍でS7/SIIが大きくなっている。
- Bulgeのstellar成分からの寄与?



# Naturalistic study of M81 at Mid-Infrared

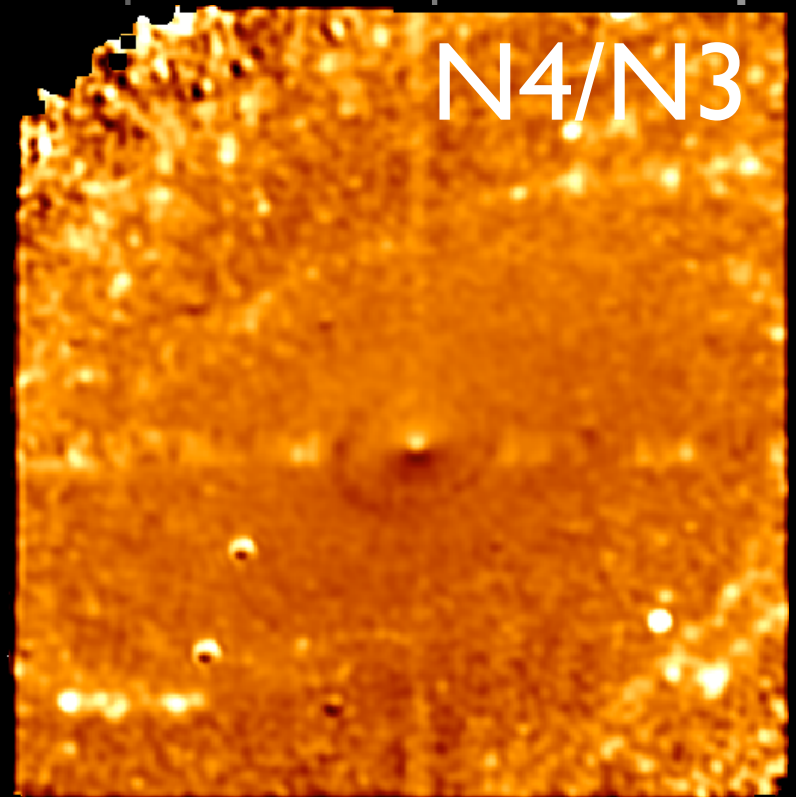
- S7/SII
- Arm, ILR上で  
 $F_{V7}/F_{VII}$  : 1.2-1.5
- Sakon+ 2006でのNGC6943  
Arm領域でのS7/SIIの値と一致。
- 強い星間輻射によりPAHが電離。7.7/11.3が大きくなっている傾向(Sakon+ 2006)
- 中心部近傍でS7/SIIが大きくなっている。
- Bulgeのstellar成分からの寄与?



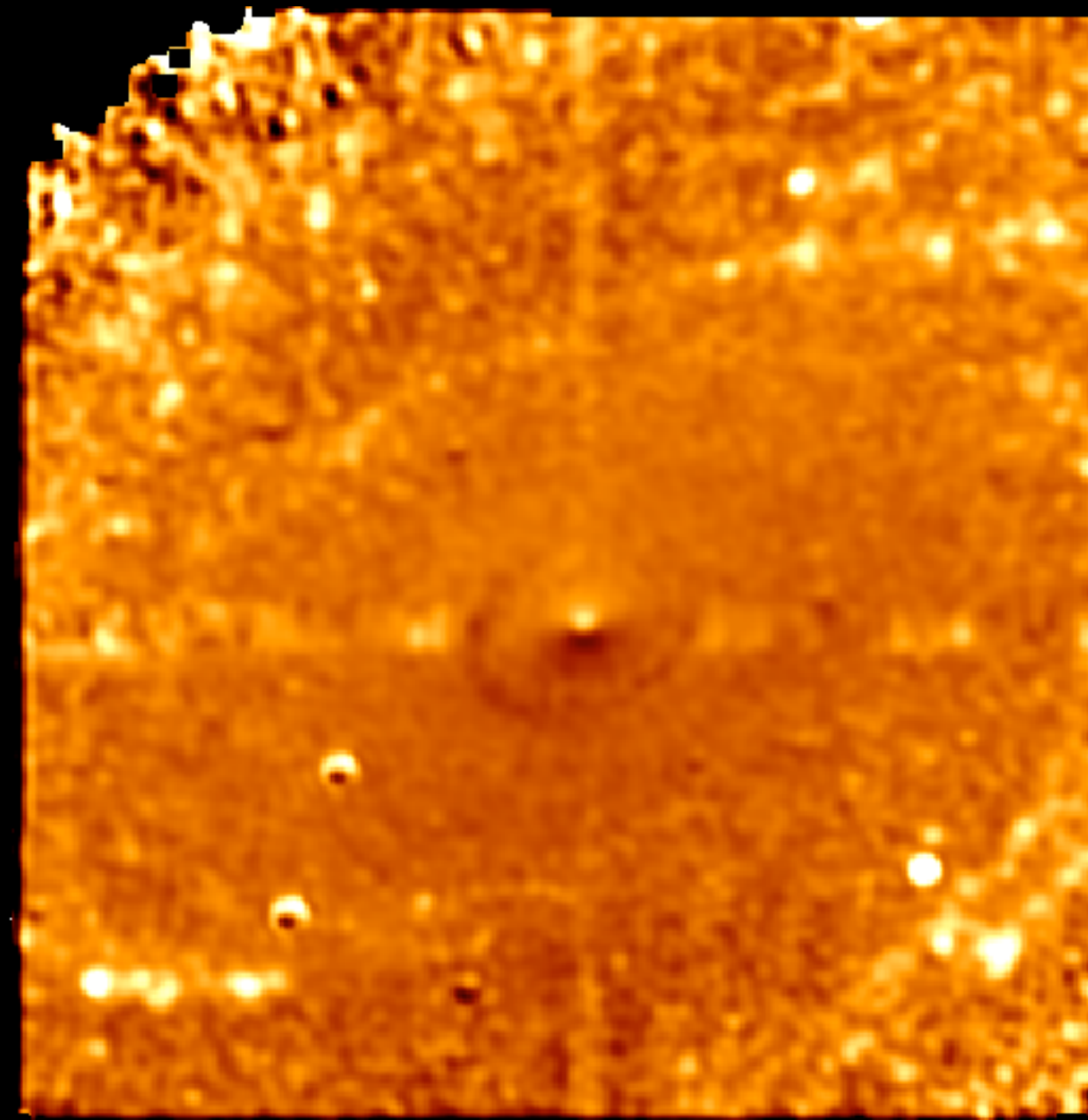
# Infrared Colors of Galactic Bulge of M81

bandpass filter	N3	N4	S7	SII	L15	L24
Wavelength [ $\mu\text{m}$ ]	3.2	4.1	7.0	11.0	15.0	24.0
M81 Galactic Bulge $\text{SB}_{\text{band}}/\text{SB}_{\text{N3}}$	1	0.597 ± 0.045	0.245 ± 0.027	0.1825 ± 0.023	0.116 ± 0.018	0.1023 ± 0.028
K-type star	1	0.530	0.221	0.167	0.0489	0.0246

- バルジ領域( $1\text{kpc} < R_{\text{dp}} < 3.5\text{kpc}$ )で、MIR-Excessの見られたK-type の標準星の観測データの平均値を比較
- N4,S7,SIIでは、ほぼK-type starsのcolorとほぼ一致。
  - 7-11 $\mu\text{m}$ では、輝度分布と相関のない成分はstellar成分のcolor
  - L15、L24で若干のExcess: Mid-IR ExcessをもつAGB starやP
- ✓ N4/N3, 2MASS K/N3 colorなどで、Bulge領域で有意なcolorの変化なし。

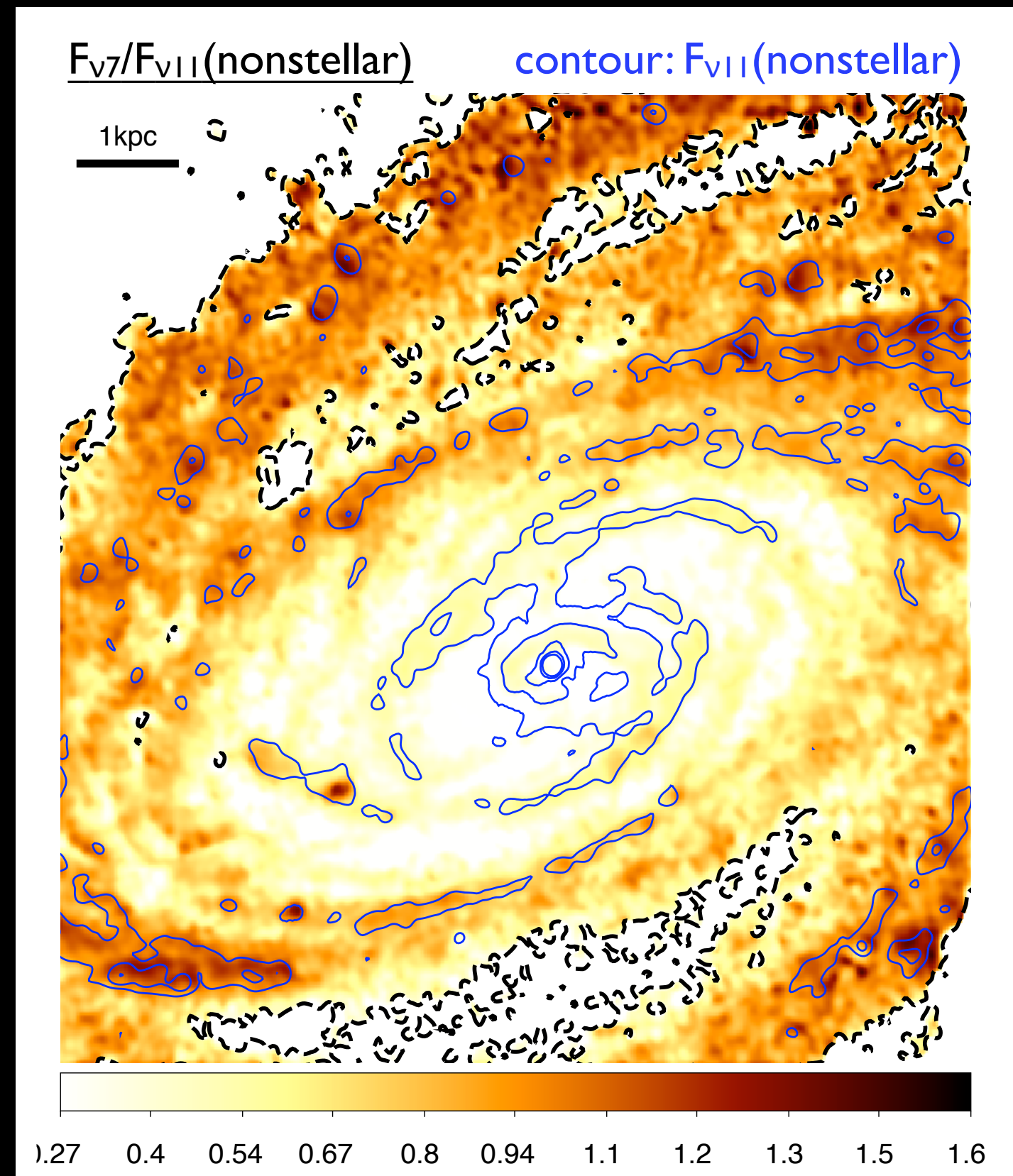


N4/N3



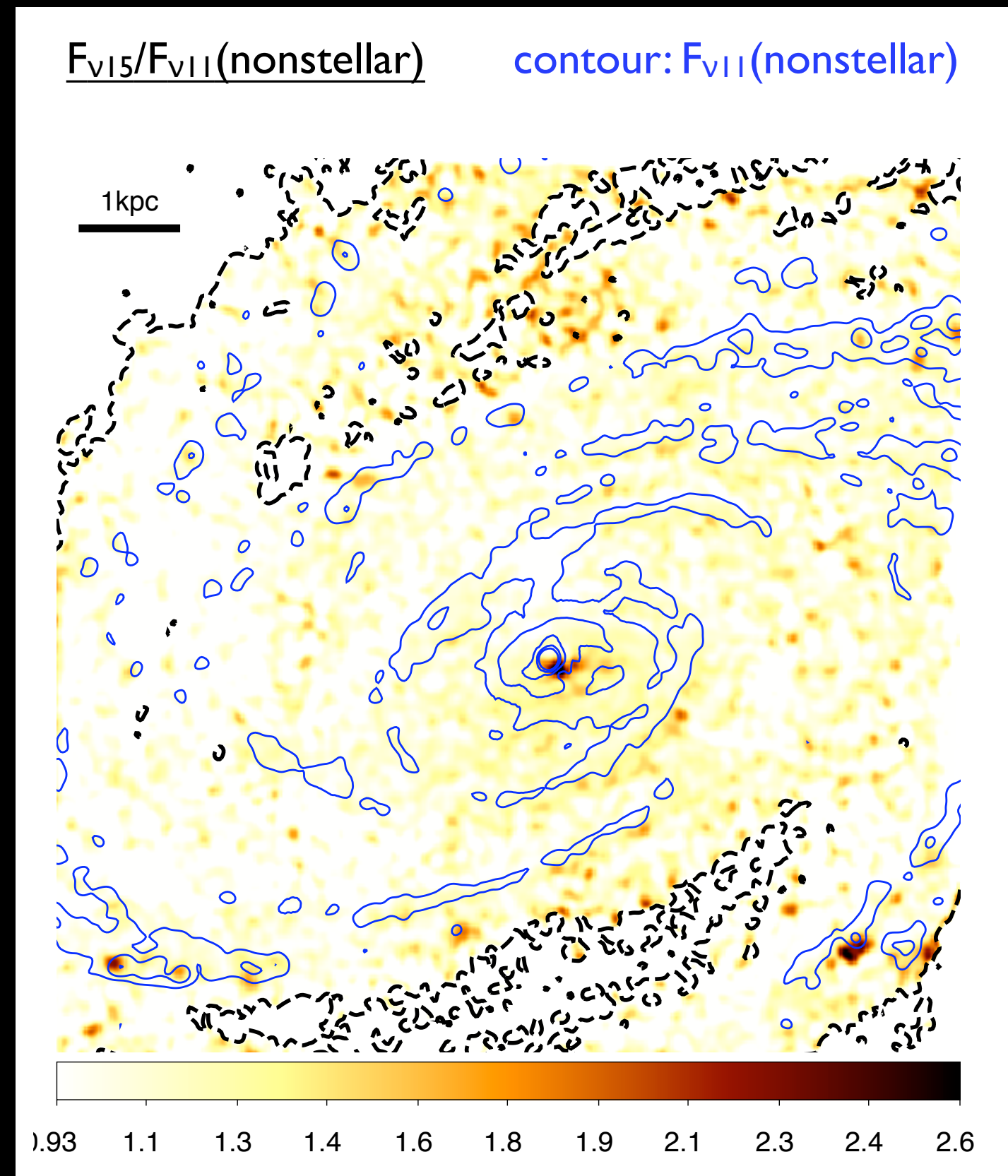
# Naturalistic study of M81 at Mid-Infrared

- S7/SII Nonstellar
  - 2MASS K band を scaling。  
stellar 成分を除去。
  - flux ratio が銀河スケールで変化
- | 領域    | $F_{\text{V7}}/F_{\text{VII}}$ |
|-------|--------------------------------|
| ILR外側 | 0.8-1.4                        |
| ILR内側 | 0.25-0.5                       |
- ILR の内側では  $11\mu\text{m}$  からの輻射が dominant で、 $7\mu\text{m}$  からの輻射が小さい。



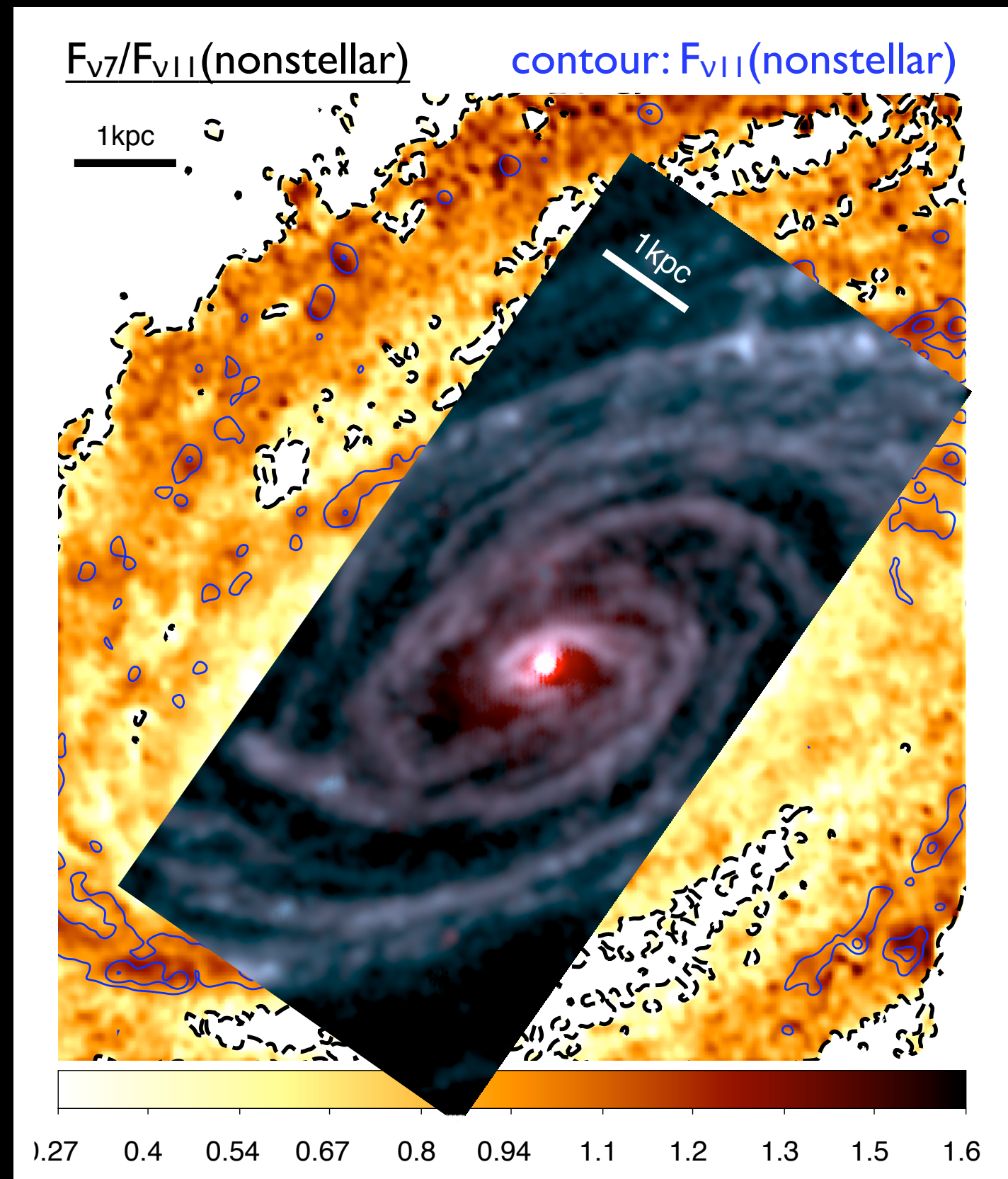
# Naturalistic study of M81 at Mid-Infrared

- L15/SII nonstellar
- Mid-Infrared での輝度分布とほとんど相関なし。
- ILR内外でもカラーの変化なし。
- PAH 17 / PAH 11.3 の輻射は ILR の内側、外側で一定：
- 7 / 11 color の急激な変化の原因に、continuum は関与していない？



# Naturalistic study of M81 at Mid-Infrared

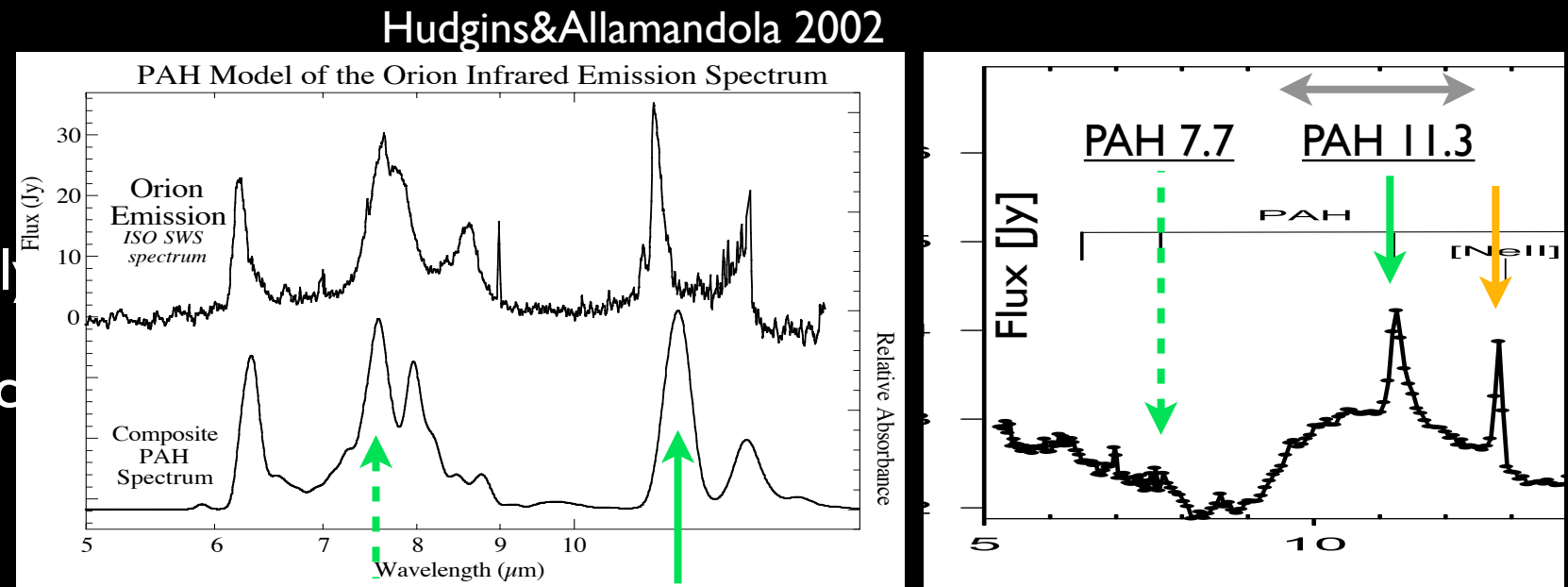
- S7/SII Nonstellar
  - 2MASS K band を scaling。  
stellar 成分を除去。
  - flux ratio が銀河スケールで変化
- | 領域    | $F_{\text{V7}}/F_{\text{VII}}$ |
|-------|--------------------------------|
| ILR外側 | 0.8-1.4                        |
| ILR内側 | 0.25-0.5                       |
- ILR の内側では  $11\mu\text{m}$ からの輻射が小さい。
  - Smith+ 2010  
(Spitzer/IRS nucleous region only)  
→ Irregular PAH feature like Elliptical Galaxy (Kaneda+ 2007)



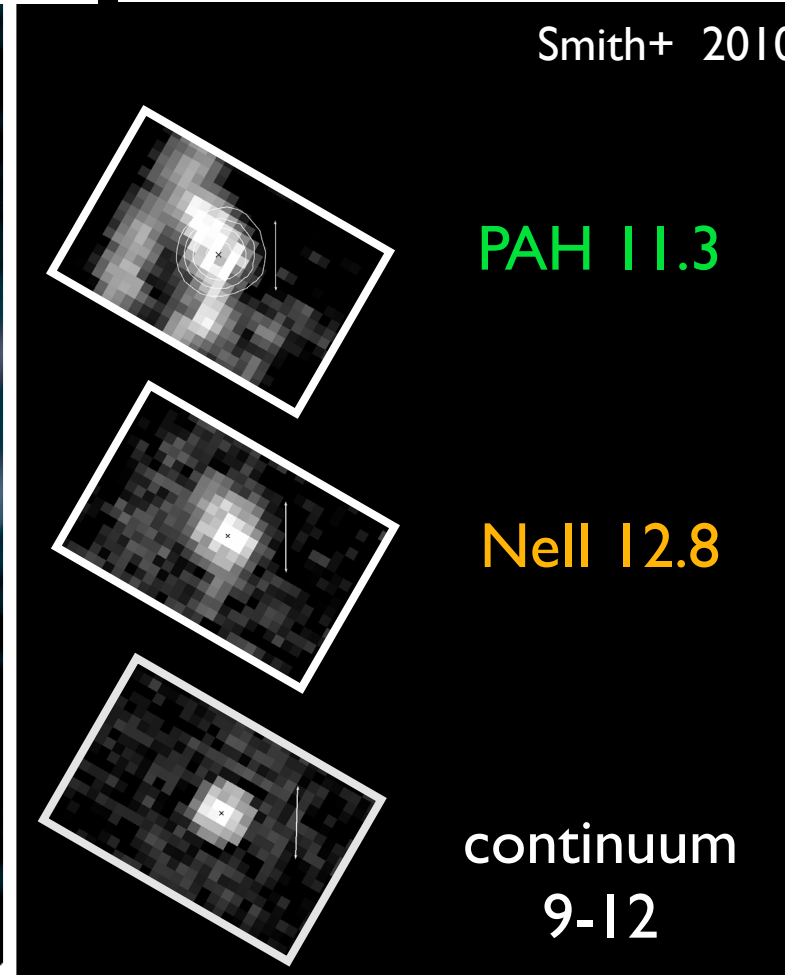
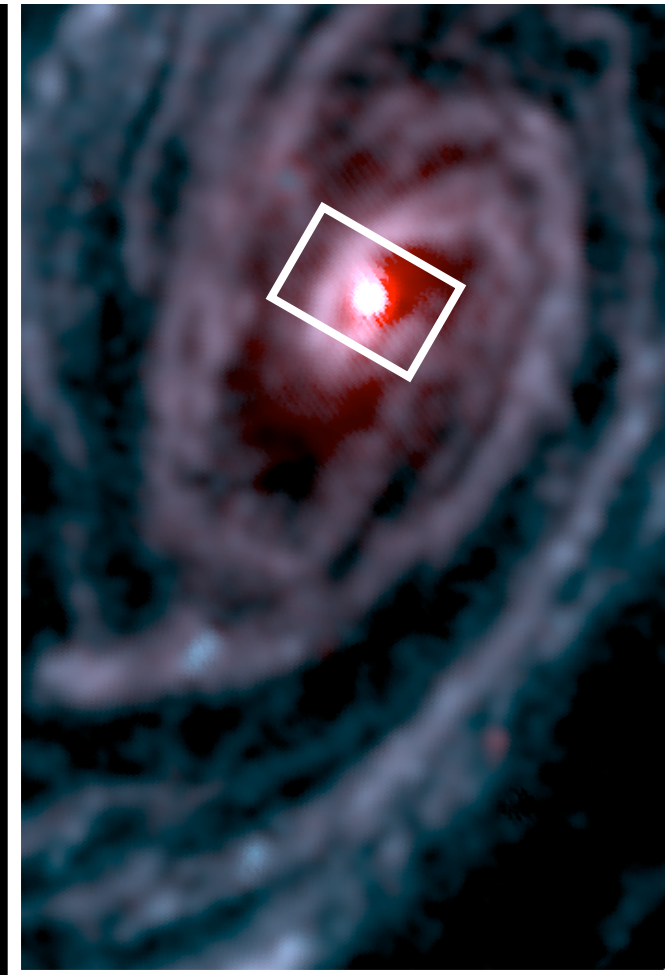
# Naturalistic study of M8 I at Mid-Infrared

- S7/SII Nonstellar
- Smith+ 2010  
(Spitzer/IRS nucleous region only)
- MIR Arm or Spiral-like structure in ILR:  
PAH emission dominant

→ Irregular PAH feature  
weak 7.7  $\mu\text{m}$  feature



- ILR 内側の SII Excessは、PAH  $11.3\mu\text{m}/7.7+6.2$  の比が高いことに起因していると考えられる。
- PAH cluster (>100 C atoms) の輻射?  
(Kaneda+ 2007)
- ➡ 小さなPAHが破壊されている



# まとめ

- M81のnonstellar成分のS7/SIIのカラーは、ガス運動の共鳴半径の内側と外側で大きく異なっている。
- ILR外側:  $7\mu\text{m}$ 付近の輻射が強い領域あり。渦巻銀河的な挙動  
ILR内側:  $11.3\mu\text{m}$ がdominantな領域がバルジ全体に広がっている
- ILR内側に落ち込む新鮮なPAHが、Bulge領域の高温プラズマに晒されながら破壊され、PAH Clustersのみが生き残って中心付近に流れ込む様子を見ている(?).

# まとめ & 目標

- 中間赤外域での近傍銀河のarm/interarm、galactic center や outflow region の輝度分布とカラーを、PSFや他の散乱光成分の影響を適切に処理した上で求めた。

これからの目標：

AKARI / IRC reconstructed imaging data と AKARI / FIS, Hershel PACS/SPIRE のデータから、近-遠赤外域の輻射分布を把握

銀河スケールでの星間環境の変化に応じたダストの生成、進化、破壊プロセスを解明する